

实体单元与薄壁板壳单元的连接

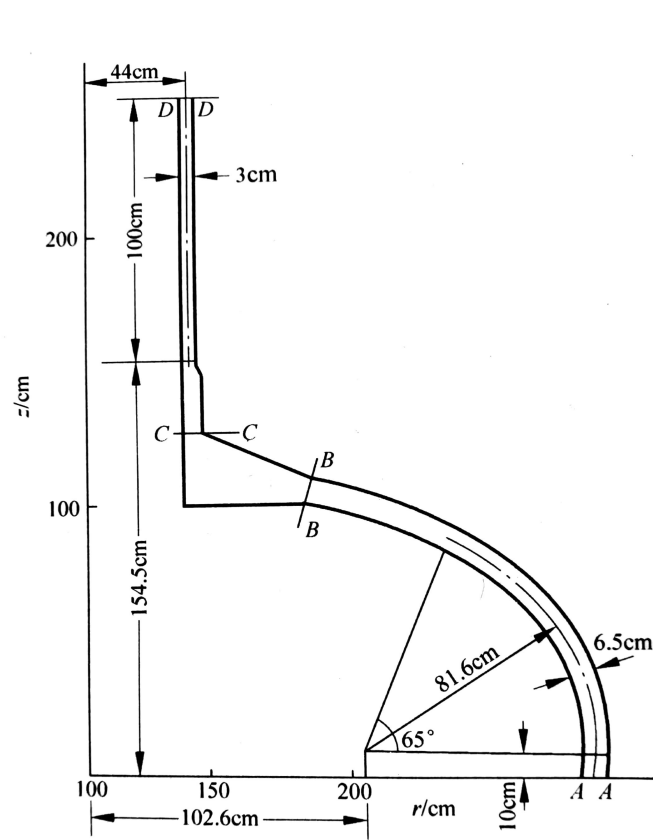
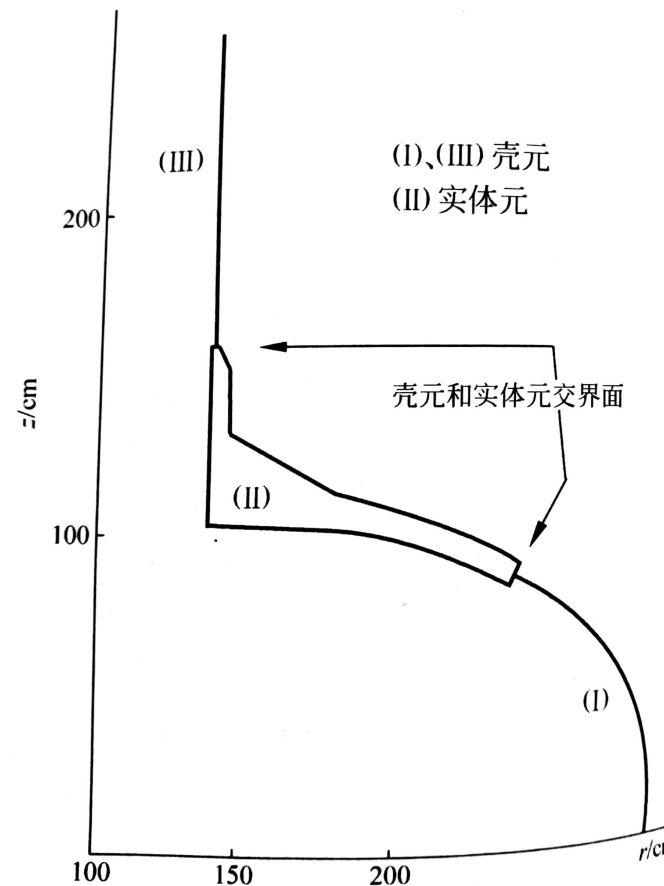


图 11.22 容器封头和接管结构



1. 直接引入约束

$$K_1 d_1 = f_1, K_2 d_2 = f_2$$

$$d_1 = \begin{pmatrix} \dots\dots\dots \\ u_1 \\ v_1 \\ u_2 \\ v_2 \\ u_3 \\ v_3 \end{pmatrix}, d_2 = \begin{pmatrix} u'_2 \\ v'_2 \\ \beta'_2 \\ \dots\dots\dots \end{pmatrix}$$

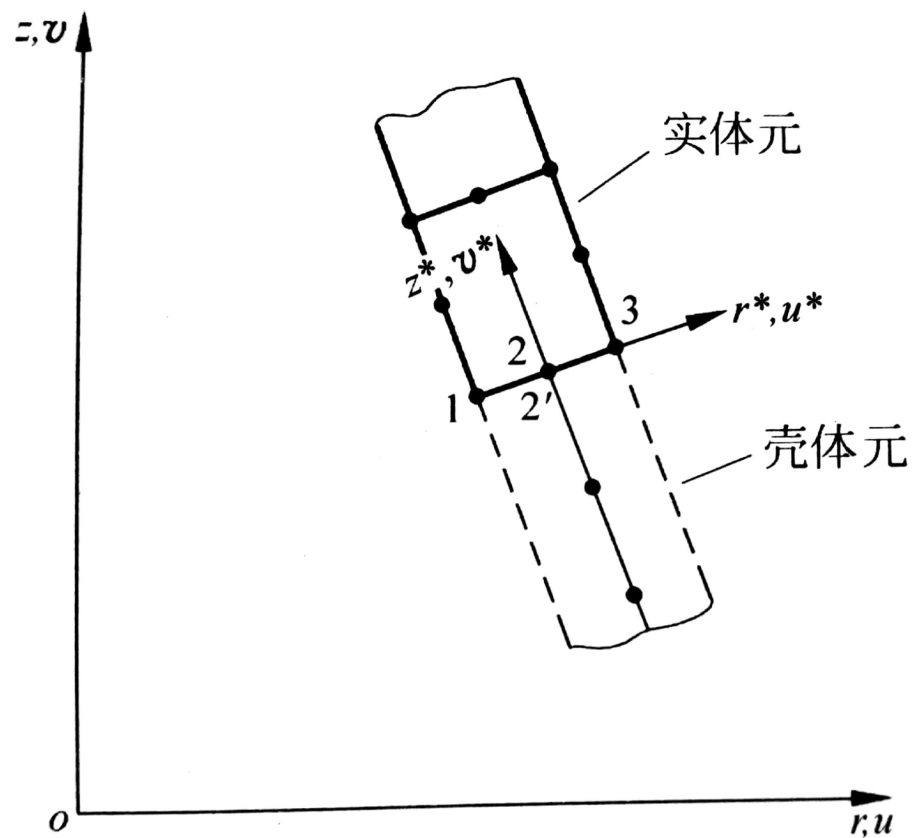


图 11.24 两种类型单元的联结

$$C = \begin{pmatrix} u_2 - u_2' \\ v_2 - v_2' \\ -\sin\phi(u_1 - u_2) + \cos\phi(v_1 - v_2) - \frac{t}{2}\beta_2' \\ -\sin\phi(u_3 - u_2) + \cos\phi(v_3 - v_2) + \frac{t}{2}\beta_2' \end{pmatrix} = 0$$

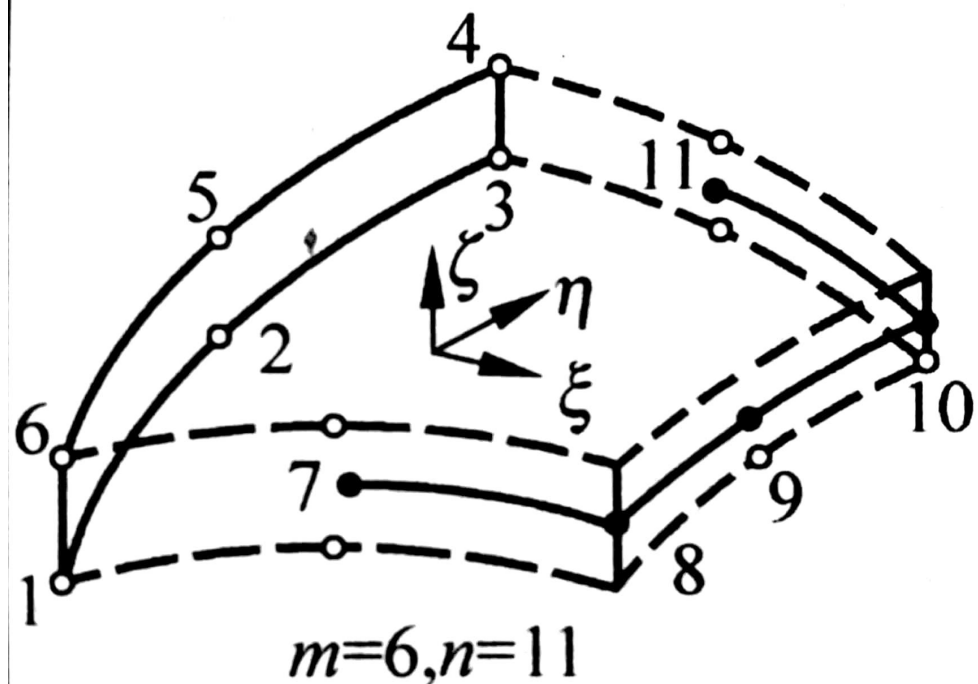
巨大的问题：
计算量、对称性

$$\begin{pmatrix} u_1 \\ v_1 \\ u_2 \\ v_2 \\ u_3 \\ v_3 \end{pmatrix} = \begin{bmatrix} \cos\phi & 0 & \sin^2\phi & -\sin\phi\cos\phi & -\frac{t}{2}\sin\phi \\ \sin\phi & 0 & -\sin\phi\cos\phi & \cos^2\phi & \frac{t}{2}\cos\phi \\ 0 & 0 & 1 & 0 & 0 \\ 0 & 0 & 0 & 1 & 0 \\ 0 & \cos\phi & \sin^2\phi & -\sin\phi\cos\phi & \frac{t}{2}\sin\phi \\ 0 & \sin\phi & -\sin\phi\cos\phi & \cos^2\phi & -\frac{t}{2}\cos\phi \end{bmatrix} \begin{pmatrix} u_1^* \\ u_3^* \\ u_2' \\ v_2' \\ \beta_2' \end{pmatrix}$$

2. 过渡单元

$$\begin{Bmatrix} x \\ y \end{Bmatrix} = \sum_{j=1}^m N'_j(\xi, \eta) \begin{Bmatrix} x_j \\ y_j \end{Bmatrix} + \sum_{j=m+1}^n N_j(\xi) \begin{Bmatrix} x_j \\ y_j \end{Bmatrix} + \sum_{j=m+1}^n N_j(\xi) \frac{\eta}{2} t_j \begin{Bmatrix} \cos \Phi_j \\ \sin \Phi_j \end{Bmatrix}$$

$$\begin{Bmatrix} u \\ v \end{Bmatrix} = \sum_{j=1}^m N'_j(\xi, \eta) \begin{Bmatrix} u_j \\ v_j \end{Bmatrix} + \sum_{j=m+1}^n N_j(\xi) \begin{Bmatrix} u_j \\ v_j \end{Bmatrix} + \sum_{j=m+1}^n N_j(\xi) \frac{\eta}{2} t_j \begin{Bmatrix} -\sin \Phi_j \\ \cos \Phi_j \end{Bmatrix} \alpha_j$$



过渡单元的应力分析及局限性

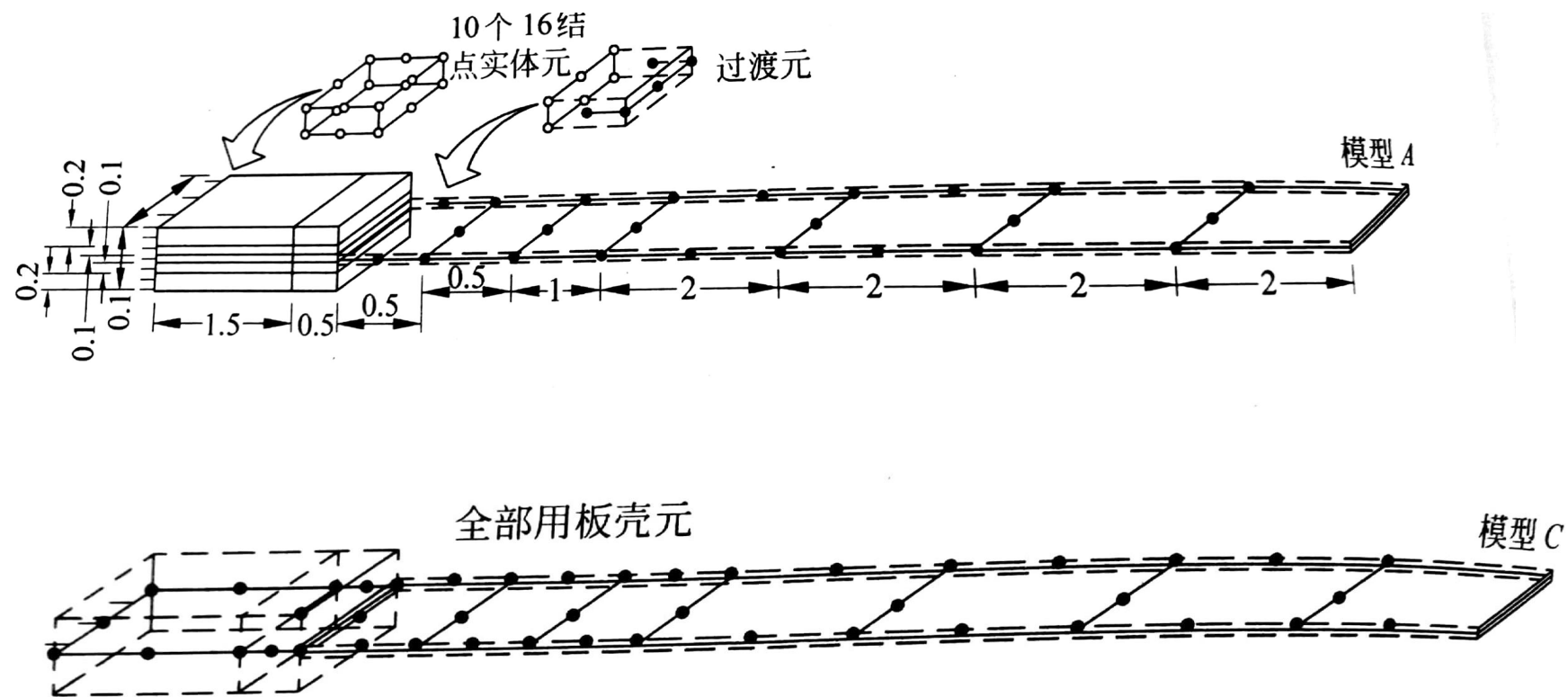
$$w' = w'(x, y)$$

$$\varepsilon_{z'} = 0$$

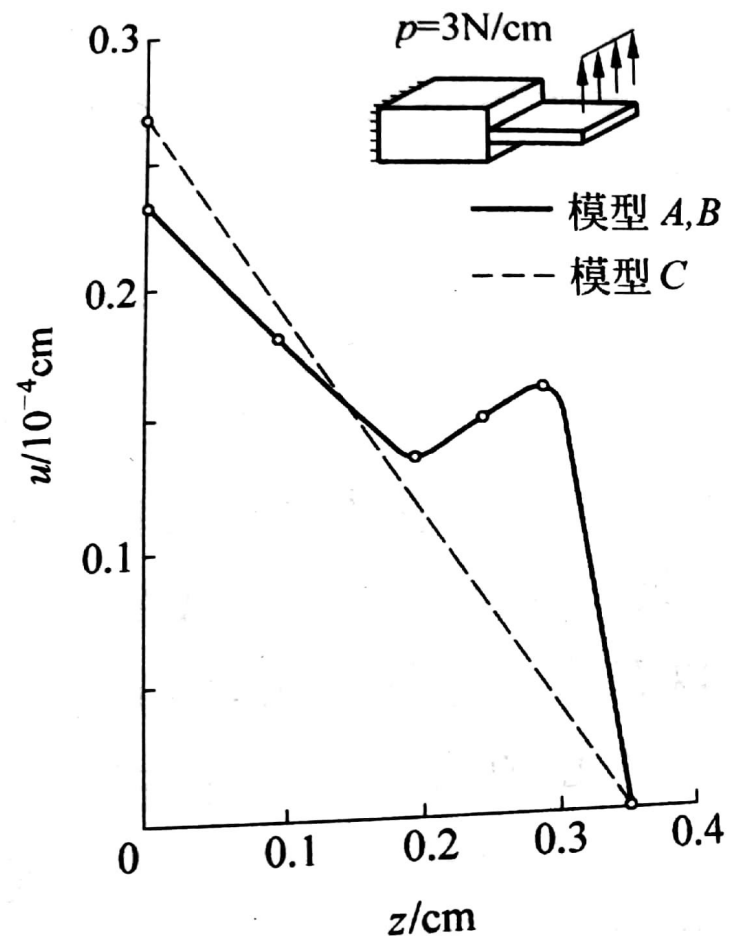
$$\varepsilon_{z'} = \nu(\varepsilon_{x'} + \varepsilon_{y'})$$

$$\nu = 0$$

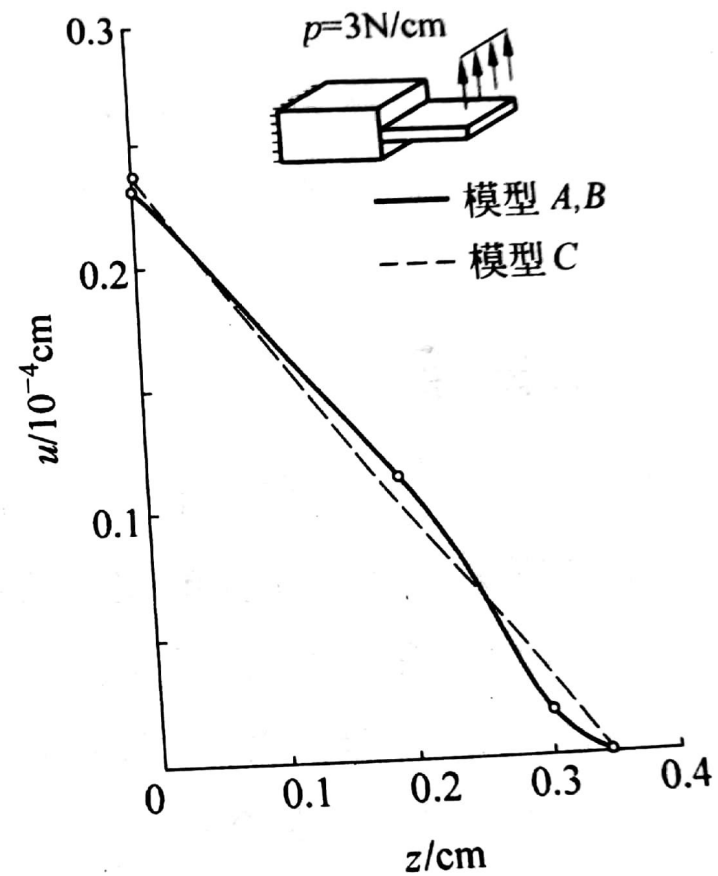
实例分析



(d)



(c) 位移 u 沿截面高度的变化 ($x=2\text{cm}$)



(d) 位移 u 沿截面高度的变化 ($x=1.75\text{cm}$)